

# 1. Kinematika, alapfogalmak, kül. koordináták

- kinematika: mozgás leírása - hol van és mielőtt  $r(t)$  for!
- dimenzió:  $3+1$  ← klasszikus: idő független  
relatívitás: ötfüg.
- $r$  vektor ← számszerűsítés  $\Rightarrow$  műveletek
- műveletek: óráds, skalárral szorz., abs. érték  
skalárszorz.:  $|r_1 - r_2|$  kompenzálás és átírás  $r_1 r_2 = |r_1| |r_2| \cos \alpha$
- $r(t)$  for  $\rightarrow$  deriváltakat leírásunkat:  $v, a$
- pálya:  $y(x)$  v.  $z(x)$ , idővel független
- vektorok

## a) szabadesés

- csúszás:  $a = (0, 0, -g)$
- $r(t)$  for kez 6 paraméteres leírás (pálya)
- mozgásegyenlet differ.  $\Rightarrow$  paraméteres szabadesés

## b) ferde hajítás

- $r(t) = (v_{x0}t, 0, v_{z0}t - \frac{g}{2}t^2) \Rightarrow$  pályaequivalens  $z(x)$  parabola

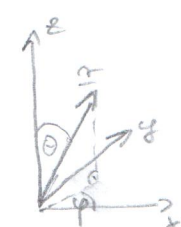
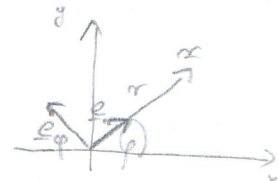
## c) harm. mozgás

- $a = -\omega^2 x$
- $x(t) = A \sin(\omega t + \varphi) \Rightarrow v(t), a(t)$
- kezdőfeltétel:  $A$  és  $\varphi \Rightarrow x(0), v(0) \Rightarrow$
- fázisdiagram:  $v(x)$  diagram - ellipszis  $(\frac{x}{A})^2 + (\frac{v}{A\omega})^2 = 1 \leftarrow \sin^2 + \cos^2 = 1$  miatt  
kezdeti pont  $A, \varphi$ -vel függ  
+ gyorsulás másképp

## más koordináták

### 1) sírköri polárkoordináták

- $x(t) = r(t) \cos(\varphi(t))$   
 $y(t) = r(t) \sin(\varphi(t))$
- $e_r$  egységvektor radiális  $e_r = (\cos \varphi(t), \sin \varphi(t))$
- $e_\varphi$  egységvektor  $e_\varphi \perp e_r$   $e_\varphi = (-\sin \varphi(t), \cos \varphi(t))$
- $r = r e_r \rightarrow \dot{r} e_r$
- $v = \dot{r} e_r + r \dot{\varphi} e_\varphi$  ← rad. és tang. komponens
- $a = \ddot{r} e_r + (2\dot{r}\dot{\varphi} + r\ddot{\varphi}) e_\varphi$
- jelölés:  $\dot{\varphi} = \omega$  szögseb.  $\Rightarrow$  behelyettes.
- $\ddot{\varphi} = \beta$  szöggyors.



### 2) térbeli polárkoordináták

- $r$  - hossz,  $\theta$  -  $z$  tengellyel bezárt  $\varphi$ ,  $\Rightarrow$
- $\varphi$  -  $x$ - $y$  sírba vetület  $x$  tengellyel  $\varphi$
- $x = r \cos \varphi \sin \theta$   
 $y = r \sin \varphi \sin \theta$   
 $z = r \cos \theta$

### 3) hengerkoordináták

### 4) símkör

- pálya minden pontján könmozgás símkörön
- sebesség: pályagörve érintőjében
- $\hat{t}$  - tangens egységvektor  $\Rightarrow v = v \hat{t}$
- $a = \dot{v} \hat{t} + v \dot{\hat{t}}$
- $\hat{t} = e_\varphi \Rightarrow \dot{\hat{t}} = -\dot{\varphi} e_r = \dot{\varphi} \hat{n} \leftarrow \hat{n} = -e_r$  befelé mutató normális
- $\Rightarrow a = \dot{v} \hat{t} + \frac{v^2}{\rho} \hat{n}$

+ csigás szabályos  $\Delta$ -ben



### 3. Csillapított rezgés

#### 1) függőleges rezgés

-  $ma = mg - Dx \quad \leftarrow \omega_0^2 = \frac{D}{m} \quad \Rightarrow \ddot{x} = g - \omega_0^2 x$

- mo:  $x(t) = A \sin(\omega_0 t + \varphi) + B$   
 kezdőjt.:  $A, \varphi$   $\leftarrow B$ -re ekkor egyensúlyi helyzet

#### 2) vízszintes súrlódó szabadulás

-  $ma = mg - \lambda v \quad \leftarrow \beta = \frac{\lambda}{m} \quad \Rightarrow \dot{v} = g - \beta v$

- mo: exp.  $v(t) = v_0 e^{\alpha t} + v_\infty$

- visszahelyett:  $\Rightarrow konst = 0$  és exp. egyenletből  $\Rightarrow \alpha = \beta v_\infty$  és  $\beta = -\alpha$   
 $\Rightarrow v(t) = v_0 e^{-\beta t} + v_\infty \quad \tau = \frac{1}{\beta}$   $\leftarrow 5\tau$  után  $\sim$  egyensúly

#### 3a) csill. rezgés - dinamikus mindelés

-  $ma = -Dx - \lambda v \quad \leftarrow \beta = \frac{\lambda}{2m} \quad \Rightarrow \ddot{x} + 2\beta \dot{x} + \omega_0^2 x = 0$

- mo:  $x(t) = A(t) \sin(\omega t + \varphi) \quad \leftarrow$  amplitúdó időfüggés  $\Rightarrow \dot{x}, \ddot{x}$

- visszahelyett:  $\sin$ -os és  $\cos$ -os együtthetőségek  $\leftarrow$  egyenlet 0  
 •  $\cos$  együtthet. ja 0  $\Rightarrow A = -\beta A \Rightarrow A(t) = A_0 e^{-\beta t}$  exp. amp. csill.  
 •  $\sin$  együtthet. ja 0  $\Rightarrow \omega^2 = \omega_0^2 - \beta^2$

$\Rightarrow x(t) = A_0 e^{-\beta t} \sin(\omega t + \varphi)$  ahol:  $\omega^2 = \omega_0^2 - \beta^2 \quad \omega_0 > \beta$  kezdj.:  $A_0$  és  $\varphi$

- egyensúlyi helyzet pontos

- logaritmusus deriváltum

$$\ln \frac{A_{n+1}}{A_n} = -\beta \Delta t$$

#### 3b) ha $\beta > \omega_0$ - túlcsill. rezgés

- mo:  $x(t) = x_0 e^{\alpha t} \quad \Rightarrow \dot{x}, \ddot{x}$

- visszahelyett:  $[ ] x_0 e^{\alpha t} \quad \leftarrow [ ] = 0 \Rightarrow \alpha_{1,2} = -\beta \pm \sqrt{\beta^2 - \omega_0^2}$

- mo két alakja:  $x(t) = x_1 e^{(-\beta + \sqrt{\beta^2 - \omega_0^2})t} + x_2 e^{(-\beta - \sqrt{\beta^2 - \omega_0^2})t}$   $\leftarrow$  gyökrelben/karakterben leírás  
 alra

- komplex számokkal:  $\alpha_{1,2} = -\beta \pm i \sqrt{\omega_0^2 - \beta^2}$

$\Rightarrow x(t) = x_1 e^{\dots} + x_2 e^{\dots} \quad \leftarrow x_1$  és  $x_2$  is komplex  $x_2 = x_1^*$   $x_1 = |x_1| e^{i\varphi}$

$\Rightarrow x(t) = |x_1| e^{-\beta t} \cdot 2 \cos(\dots) \Rightarrow x(t) = 2|x_1| e^{-\beta t} \cos(\sqrt{\omega_0^2 - \beta^2} t + \varphi)$

+ krit. eset  $\beta = \omega_0$

$x(t) = (x_1 + x_2) e^{-\beta t} \Rightarrow (x_1 + ct) e^{-\beta t} \quad \beta \rightarrow \omega$

#### 4) csill. rezgés - statikus mindelés

-  $ma = -Dx - F_s \frac{v}{|v|}$

- egy. helyz. ettől kezdve  $\leftarrow$  lefelé menet felfelé  $\alpha + F_s/D$   
 felfelé menet lefelé  $\alpha - F_s/D$

- megold:  $\alpha \pm F_s/D$  intervallumon belül belül

- alra: egyenlet simus

# 4. Kényszerrezgés, rezonancia

## 1) Rénytrengés

-  $ma = -Dx - \lambda v + F_g(t) \leftarrow F_g(t) := F_0 \sin(\omega t)$  gerjesztési fv

$\Rightarrow \ddot{x} + 2\beta \dot{x} + \omega_0^2 x = f_0 \sin(\omega t)$

- próba:  $x(t) = A(\omega) \sin(\omega t + \varphi(\omega)) \Rightarrow$  (additív)  $\Rightarrow x, \dot{x}, \ddot{x}$

- behelyett:  $\eta \sin \omega t + \mu \cos \omega t = f_0 \sin \omega t \leftarrow \eta = f_0$  és  $\mu = 0$

$\Rightarrow$  két egyenlet  $\rightarrow \mu \neq 0 \Rightarrow \tan \varphi = \dots$

additív  $\Rightarrow A(\omega) = \frac{f_0}{\sqrt{(\omega_0^2 - \omega^2)^2 + 4\beta^2 \omega^2}}$

## 2) rezonanciafenomenon

-  $A(\omega)$  ábra  $\rightarrow \omega = 0$ -nál  $A = f_0/\omega_0$

$\rightarrow \omega \rightarrow \infty$

$A \sim 1/\omega^2$  lecseng

forde: szélsőérték

- szélsőérték:  $\frac{dA}{d\omega} = 0$

$\leftarrow \sqrt{\dots}$  alatti belső fv deriv.  $\Rightarrow$  szorzat:  $[\dots] \omega = 0$

$\Rightarrow \omega = 0$  kivétel

$\omega^2 = \omega_0^2 - 2\beta^2$

$\Rightarrow \omega_2 = \sqrt{\omega_0^2 - 2\beta^2}$

(nem létezik, ha  $\omega_0^2 < 2\beta^2$ )

- rezonanciaamplitúdó: viszályhelyett.  $\omega_r$   
 $\beta$  (viszály) nősen  $\rightarrow A$  nő

- görbe szélessége:  $A_{max} / \sqrt{2}$

$A(\omega)$  nevezője  $\sqrt{2}$ -nemes  $A(\omega_r)$ -énél

$\Rightarrow (\omega^2)_{1,2}$  megoldásai

$\Rightarrow$  diszkrimináns:  $D = 16\beta^2(\omega_0^2 - \beta^2)$

$\Delta \omega \sim \beta$

$\Rightarrow$  két gyök el.  $\rightarrow$  szélesség

$\Rightarrow \omega_1^2 - \omega_2^2 = 4\beta \sqrt{\omega_0^2 - \beta^2} = \underbrace{(\omega_1 + \omega_2)}_{\sim 2\omega_r} \underbrace{(\omega_1 - \omega_2)}_{\Delta \omega}$

$\Rightarrow$  a szélesség az arányos a görbe  
 egyre keskenyebb és magasabb

## 5. Rezgések összetétele

### 1) párkuzamos rezgés

$$-x(t) = x_1(t) + x_2(t) = \frac{A_1 \cos \varphi_1 + A_2 \cos \varphi_2}{A \cos \varphi} \sin(\omega t) + \frac{A_1 \sin \varphi_1 + A_2 \sin \varphi_2}{A \sin \varphi} \cos(\omega t) = A \sin(\omega t + \varphi)$$

$$\Rightarrow A \cos \varphi = \dots \text{ és } A \sin \varphi = \dots \Rightarrow \text{I): I) } \rightarrow \text{tg } \varphi$$

$$\text{I)}^2 + \text{II)}^2 \rightarrow A^2 = A_1^2 + A_2^2 + 2A_1 A_2 \cos(\varphi_1 - \varphi_2)$$

interferencia-tag

- algebra  $\Rightarrow$  tg  $\varphi$ :  $A_1$  és  $A_2$  x és y komponensei  
A : cos-tétel

- algebra - complex számok  $\Rightarrow A e^{i\varphi} = A_1 e^{i\varphi_1} + A_2 e^{i\varphi_2}$  ha  $\omega_1 = \omega_2$

### 2) merőleges rezgés

$$-x = A_1 \sin(\omega t) \quad \sin(\alpha + \beta) \Rightarrow \sin \omega t = x/A_1$$

$$y = A_2 \sin(\omega t + \varphi) \Rightarrow y = A_2 (\sin(\omega t) \cos \varphi + \cos(\omega t) \sin \varphi)$$

- y(x) fu

$$\Rightarrow \text{szorzathatás alatt } \left(\frac{y}{A_2}\right)^2 - 2 \frac{y x}{A_2 A_1} \cos \varphi + \left(\frac{x}{A_1}\right)^2 = \sin^2 \varphi$$

$$\text{matrix: } \begin{pmatrix} 1/A_1^2 & -1/A_1 A_2 \cos \varphi \\ -1/A_1 A_2 \cos \varphi & 1/A_2^2 \end{pmatrix} \begin{pmatrix} x \\ y \end{pmatrix} \begin{pmatrix} x \\ y \end{pmatrix} = \sin^2 \varphi \Rightarrow \text{képlet}$$

-  $\varphi = 0 \Rightarrow$  egyenes

-  $\varphi = 90^\circ \Rightarrow$  ellipszis

ha  $\text{hullám} + \text{hullám}$   $\Rightarrow$  ellipszis lassan forgó

-  $\varphi_2 = 2\varphi_1$  és  $\varphi_1 = \varphi_2$

$$\Rightarrow x = A \cos(\omega t)$$

$$y = A \cos(2\omega t)$$

$$\Rightarrow \frac{y}{A} = 2\left(\frac{x}{A}\right)^2 - 1 \quad \text{lebill parabola}$$

- diszkrét + görbék: átl. eset

ha  $\omega_2 = k \omega_1$   $k \in \mathbb{Z} \Rightarrow$  zárt görbék



## 7. Impulzus, impulzusmomentum

### 1) impulzus

-  $\underline{p} = m \underline{v}$  levezetése  $\Rightarrow \frac{d\underline{p}}{dt} = \underline{F}$  és  $\frac{d\underline{r}}{dt} = \frac{\underline{p}}{m}$

-  $m \underline{a} = \underline{F} \Rightarrow$

- Euler-módszer:  $\underline{p}(t+\Delta t) \approx \underline{p}(t) + \underline{F} \Delta t$   
 $\underline{r}(t+\Delta t) \approx \underline{r}(t) + \frac{\underline{p}}{m} \Delta t$

### 2) impulzusmomentum

-  $m \underline{a} = \underline{F}$   $\Leftarrow$  vektorok  $\underline{r} \Rightarrow \underline{r} \times m \underline{a} = \underline{r} \times \underline{F}$

- forgásmoment:  $\underline{M} := \underline{r} \times \underline{F}$

- imp. mom.:  $\underline{N} = \underline{r} \times m \underline{v} = \underline{r} \times \underline{p}$

$\Rightarrow \boxed{\frac{d\underline{N}}{dt} = \underline{M}}$

- imp. mom. megmaradás

a) egy. von. egy. mozg.  $\underline{F} = 0$

b) centrális erőter

- centrális erőter - az minden pontban az origóra mutat  $\underline{F} \parallel \underline{r}$

•  $\underline{F} \parallel \underline{r} \Rightarrow \underline{M} = \underline{r} \times \underline{F} = 0 \Rightarrow \underline{N} = \text{dll.}$

•  $\underline{r} \perp \underline{N} = \underline{r} (\underline{r} \times m \underline{v}) = 0 \Rightarrow \underline{N} \perp \underline{r} \Rightarrow \underline{N}$  az merőleges sík szelvénye

• poláriszög  $\Rightarrow$  Kepler II!

$\underline{N} = m r^2 \dot{\varphi} (\underline{e}_r \times \underline{e}_\varphi) \Rightarrow \boxed{r^2 \dot{\varphi} = r^2 \omega = \text{dll.}}$

azaz: állandó terület sebesség  $\boxed{\dot{A} = \frac{1}{2} r^2 \dot{\varphi} = \text{dll.}}$

minden centr. erőterre

# P. Munka, potenciális energia

## 1) Teljesítmény

- $\underline{F} = m\underline{a}$  /  $\underline{v}$  skalárisan  $\Rightarrow \underline{v} \cdot \underline{F} = m \underline{v} \cdot \underline{a}$
- teljesítmény:  $\underline{P} := \underline{v} \cdot \underline{F}$
- $E_{kin}$  deriv.:  $\frac{dE_{kin}}{dt} = \frac{d}{dt} \left( \frac{1}{2} m v^2 \right) = m \underline{v} \cdot \underline{a}$
- ha  $\underline{P} = \underline{v} \cdot \underline{F} = 0$  ( $\underline{v} \perp \underline{F}$ )  $\Rightarrow E_{kin} = \text{dlt. pl. gyor. kb}$
- munka:  $W := \int_{t_0}^t P(t) dt = \int_{t_0}^t \frac{d}{dt} E_{kin} = E_{kin}(t) - E_{kin}(t_0) = \Delta E_{kin} = W$  munkakétel

$$\frac{dE_{kin}}{dt} = P$$

## 2) vektor

- vektor:  $\underline{F}(\underline{r})$  nő csak a hely fele
- munka:  $W = \int_{t_0}^t P(t) dt = \int_{t_0}^t \underline{F}(\underline{r}(t)) \cdot \underline{v}(t) dt$
- konzervatív vektor:  $\oint \underline{F}(\underline{r}) d\underline{r} = 0 \iff \text{rot } \underline{F}(\underline{r}) = 0 \iff \exists \phi: \underline{F}(\underline{r}) = -\text{grad } \phi$
- munka csak kezdő- és végponttól függ, útvonalól nem

következő lépés, azonnal figyelni

$$\sum \underline{F}(\underline{r}_i) \Delta \underline{r} \rightarrow \int_C \underline{F}(\underline{r}) d\underline{r} = W$$

elemi integrál

$$W_{k2} = \int_{\underline{r}_1}^{\underline{r}_2} \underline{F}(\underline{r}) d\underline{r} = \phi(\underline{r}_1) - \phi(\underline{r}_2)$$

## 3) potenciális energia

- minden ponthoz skálármennyiség rendelése  $\phi(\underline{r}) = - \int_0^{\underline{r}} \underline{F}(\underline{x}) d\underline{x} = E_{pot}$
- munka két pont közt:  $\phi(\underline{r}_2) = \phi(\underline{r}_1) - W$
- konz. vektor  $\Rightarrow W = \phi(\underline{r}(t_0)) - \phi(\underline{r}(t_1)) = E_{kin}(t_1) - E_{kin}(t_2) = W \iff$  munkakétel
- energiamegmar.  $E_{kin}(t) + \phi(\underline{r}(t)) = \text{dlt.}$
- gradiens:  $\underline{F}(\underline{r})$  kiszámítása  $\phi(\underline{r})$ -ből
  - $\phi$  z rögzített
  - összes komponens:  $\underline{F}(\underline{r}) = -\nabla \phi = -\text{grad } \phi = - \left( \frac{\partial \phi}{\partial x}, \frac{\partial \phi}{\partial y}, \frac{\partial \phi}{\partial z} \right)$
  - közelebb:  $\phi(\underline{r} + \underline{h}) \approx \phi(\underline{r}) + (\text{grad } \phi) \cdot \underline{h}$  ← derivált szerű
  - $\Rightarrow$  változás nagyságából, ha  $\underline{h} \parallel \text{grad } \phi$
- centripetális vektor:  $\underline{F}(\underline{r}) \Rightarrow E_{pot}(\underline{r})$  pl. grav., Coulomb
- $\text{grad } |\underline{r}| = \frac{\underline{r}}{r}$  irányú egységvektor
- extrémumok - az érintő vízszintes
- elv. pont. feltétel  $\perp \Rightarrow$  elv. pont. feltétel ortogonális trajektorákra

## 4) pl. ingamozg.

- rezgésenergi munkája 0  $\leftarrow \underline{k} \perp \Delta \underline{s} \Rightarrow \int \underline{k} d\underline{s} = 0$
- $\Rightarrow$  munkakétel érvényes
- szelvi pálya rögz.
- $E = E_{kin} + E_{pot} = \text{dlt.} \Rightarrow \frac{dE}{dt} = 0 = \frac{d}{dt} (E_{kin} + E_{pot}) \Rightarrow \underline{k} \cdot \dot{\underline{r}} = -g \sin \varphi$
- $\Rightarrow \underline{k} \cdot \dot{\underline{r}} \approx -g \varphi$  harm. rezgésmozg.

## 5) 1D mozgás

- mindig konzervatív  $\Rightarrow$  energiamegmar.
- E. megmar.:  $\frac{1}{2} m \dot{x}^2 + \phi(x) = \text{dlt.} \Rightarrow \dot{x} = \frac{\dot{x}}{\sqrt{\frac{2}{m}(E - \phi(x))}}$
- $\int \rightarrow t - t_0 = \int_{x_0}^{x(t)} \frac{1}{\sqrt{\frac{2}{m}(E - \phi(x))}} dx$  ←  $t(x)$  fu
- potenciálfüggő  $\underline{r}$ , alra
- minimum közelében parabola  $\Rightarrow$  harm. közelítés
- $\phi(x) \approx \frac{D^*}{2} (x - x_0)^2 \Rightarrow \underline{F}(x) = -\frac{d\phi}{dx} = -D^* (x - x_0) \Rightarrow D^* = -\frac{dF}{dx} \Big|_{x=x_0} = \frac{d^2\phi}{dx^2} \Big|_{x=x_0}$
- $\Rightarrow$  energiaminimum környékén harm. rezgés

## 6) megpendített léc

- kérdés: léc frekvenciája  $\leftarrow \omega_L = 2 \frac{P}{m}$  longitudinális felv.
- $\omega_r^2 \approx \omega_L^2 \left( 1 - \frac{L_0}{L_0 + E} \right)$  transz. felv.  $\omega_r \sim \sqrt{F}$



# 9. Gravitációs, tehetetlen és súlyos tömeg, gömbhöz, körös gömb tere

## 1) tehetetlen és súlyos tömeg

- tehetetlen tömeg: tehetetlenség mértékét jelzi - adott  $F$  erő mellett gyorsulást okoz  
 $F = m_t a$
- súlyos tömeg: kölcsönhatás során mennyire képes vonzani  
 mérés: statikai tömegméréssel pl. mérleg
- két testet súlyainak aránya független a mérés helyétől, de egy test súlyja nem
  - $m_s g_F = G$   $m_s$ : testre jellemző súlyos tömeg;  $g_F$ : helyre jellemző;  $G$ : gravitációs
  - $m_t a = F$  Newton II
  - ha a testre csak a nehézségi erő hat  $\Rightarrow m_t a = m_s g_F \Rightarrow \frac{m_s}{m_t} = \frac{a}{g_F} = \frac{g}{g_F}$   $\leftarrow g$ : kísérletileg mérhető
  - képlet:  $g/g_F = 1$
  - probléma, ha a grav. gyors. függ az anyagi minőségtől  
 $\Rightarrow$  Echo's mérése (19. sz., 8 jegy pontosan ua.)

- matematikai inga esetén:

$$\begin{aligned} F_{grav} &= m_s g & \Rightarrow m_t a_{tan} + m_s g \sin \varphi &= 0 & \omega_0 = \sqrt{\frac{g}{l} \frac{m_s}{m_t}} &\Rightarrow T = 2\pi \sqrt{\frac{l}{g} \frac{m_t}{m_s}} \\ F_{cp} &= m_t a_{tan} & \Rightarrow \text{hisz a kérés: } m_t l \ddot{\varphi} &= -m_s g \varphi & \end{aligned}$$

## 2) kiterjedt testek grav. tere

- grav. potenciál (nem pot. energia)  $\phi(r) = -\gamma \frac{M}{r}$
- pontszerű test  $\Rightarrow$  superpozícióval az erő  $\Rightarrow \phi(r) = -\gamma \sum_{i=1}^N \frac{m_i}{|r-r_i|}$
- sűrűség bevezetése „elmossuk”  
 $\Rightarrow \phi(r) = -\gamma \int_V \frac{\rho(r')}{|r-r'|} dV'$  kétfogalmú int.

## 3) gömbhözjáró grav. tere

- gömbön  $\sim$  körívszalag + ábra  
 $\cos$ -tétel  $\Rightarrow r'$
- $\Delta A = 2\pi R \sin \varphi R \Delta \varphi$   
 $\Delta m = \frac{\Delta A}{4\pi R^2} M = \frac{M}{2} \sin \varphi \Delta \varphi$
- $\phi(r)$  potenciál  $\phi(r) = -\gamma \int_0^\pi \frac{m}{2} \frac{\sin \varphi}{r'} d\varphi = \dots = -\gamma \frac{M}{2Rr} [R+r - |R-r|]$
- $\Rightarrow \phi(r) = \begin{cases} -\gamma \frac{M}{r} & \text{ha } r > R \\ -\gamma \frac{M}{R} & \text{ha } r < R \end{cases}$   $g(r) = \begin{cases} -\gamma \frac{M}{r^2} & \text{ha } r > R \\ 0 & \text{ha } r < R \end{cases} \leftarrow$  ábrák!

## 4) körös gömb grav. tere

- gömbhözjáró felosztás
- grav. tere erősséggel  $g(r) = \begin{cases} \gamma \frac{4\pi}{3} R^3 \rho \frac{1}{r^2} & \text{ha } r > R \leftarrow \text{kívül: mintha sphaerikus lenne a tömeg} \\ \gamma \frac{4\pi}{3} \rho r & \text{ha } r < R \leftarrow \text{belül: lineárisan nő} \end{cases}$   $\leftarrow$  ábra
- alagút a Földön keresztül
- paradoxonok  $\rightarrow$  tere erősség függ a geometriától  
 $\hookrightarrow$  alagút  
 $\hookrightarrow$  entrópia
- } feloldás: kétféle utolaggyezetem statikus  $1/r^2$ -tel ösfordíthatlan

# 10. Bolygóak mozgása

## 1) gravitáció

- grav. erőter:  $\vec{F}(r) = -\gamma \frac{mM}{r^2} \frac{r}{r}$  ← pontosan kétféle
  - centrális erőter
  - $F = mg$ : közelítőleg tömeg  $\leftrightarrow F = -\gamma \frac{mM}{r^2} \frac{r}{r}$ : súlyos tömeg
  - grav. terelesség:  $\vec{g} = F/m$
  - konz. erőter, mert elődél egy  $\phi$  negatív gradiense
- potenciál
  - grav. potenciális energia:  $\phi = -\gamma \frac{mM}{r}$  ←  $-\text{grad } \phi = F(r)$
  - grav. potenciál:  $u = \phi/m = -\gamma \frac{M}{r}$  ←  $-\text{grad } u = g(r)$

## 2) örvény

- konz. erőter  $\Rightarrow$  síkmozgás,  $\Rightarrow$  energiamegőrzés,  $\Rightarrow$  imp. mom. megőrzés  $\Rightarrow$  területi seb. állandó
- energiamegőrzés:  $E = \frac{1}{2}mv^2 - \gamma \frac{mM}{r} = \text{állandó}$
- imp. mom. megőrzés  $\Rightarrow$  területi seb. állandó:  $r^2 \dot{\varphi} = c$
- síkbeli poláris koordináták  $\Rightarrow v^2 = \dot{r}^2 + r^2 \dot{\varphi}^2$
- új ismeretlenek bev.  $\mu = \gamma M$   $h = \frac{2E}{\omega}$
- effektív potenciál  $h = r^2 + \underbrace{\left(\frac{c}{r}\right)^2 - \frac{2M}{r}}_{\phi^*(r) \text{ effektív potenciál}}$
- 1D-s potenciállal analógia  $\Rightarrow$  pot. görbe alakja
  - $h > 0$  nyílt pályák
  - $h < 0$  zárt pályák

## 3) $r(\varphi)$ törvény

- síkmozgás:  $r$  analitikusan nem kiszámolható, ez igen
- $r(\varphi(t)) \Rightarrow \dot{r} = \frac{dr}{d\varphi} \dot{\varphi} = \frac{dr}{d\varphi} \frac{c}{r^2} = \pm \sqrt{h - \frac{c^2}{r^2} + \frac{2M}{r}}$
- új ismeretlenek:  $A = \frac{M}{c}$  és  $B = h + \left(\frac{M}{c}\right)^2$  és  $K(\varphi) := \frac{M}{c} - \frac{c}{r} = A - \frac{c}{r}$
- $\frac{dr}{d\varphi} = \frac{d}{d\varphi} \left(-\frac{c}{r}\right) = \frac{d}{d\varphi} \left(A - \frac{c}{r}\right) = \pm \sqrt{B - \left(A - \frac{c}{r}\right)^2}$
- $\frac{dK}{d\varphi} = \pm \sqrt{B - K^2} \Rightarrow K(\varphi) = \sqrt{B} \cos \varphi$
- $\Rightarrow r = \frac{c^2/M}{1 - \varepsilon \cos \varphi}$  ahol  $\varepsilon = \sqrt{1 + \frac{c^2}{M^2} h}$

hadyan adak!

$$\Rightarrow \frac{b^2}{d} = \frac{c^2}{M}$$

$$\Rightarrow r = \frac{b^2/d}{1 - \varepsilon \cos \varphi}$$

## 4) elliptikus pályákon. egy.

- elliptikus: két ponttól vett táv. összeg állandó:  $r + r' = 2d$
- algebra  $\Rightarrow$  koszinusz-tétel  $\Rightarrow r = \frac{d^2 - c^2}{d - \frac{a}{d} \cos \varphi}$
- vízszintes tengely végpontjában:  $b^2 = d^2 - c^2$  és  $\varepsilon := c/d$
- függőleges tengely végpontjában:  $2d = 2a \Rightarrow d = a$
- összehasonlítás  $\Rightarrow$  a rajta  $r(\varphi)$  fut kielégíti az elliptikus egyenletet
- $\frac{b^2}{a} = \frac{c^2}{\gamma M}$
- $T = \frac{c}{2} = \frac{\pi ab}{T} \Rightarrow c = \frac{2\pi ab}{T}$
- $\Rightarrow \frac{a^3}{T^2} = \frac{\gamma M}{4\pi^2}$

## 5) Kepler-törvények - összefoglaló

- Kepler II: imp. mom. megőrzés  $\Rightarrow$  területi seb. ← ld. 7. tétel levezetése!
- Kepler I: elliptikus pályák  $\Rightarrow$  síkmozgás
- Kepler III:  $a^3/T^2 = \text{állandó}$

# 11. Gyorsuló koordináták

## 1) gyorsuló koordináták

-  $\underline{r} = \underline{r}' + \frac{a_0}{2} t^2 \Rightarrow \underline{a} = \underline{a}' + \underline{a}_0 \leftarrow \underline{a} = \frac{F}{m}$  inerciánál  
 $\Rightarrow m \underline{a}' = F - m \underline{a}_0$

## 2) forgó koordináták

- először: K inerciánál és K' forgó koordináták típusa közös

-  $\underline{r} = \hat{O} \underline{r}'$   $\hat{O}$ : forgatásoperátor  $\hat{O}(t)$  időfüggő

-  $\dot{\underline{r}}(t) = \dot{\hat{O}}(t) \cdot \underline{r}'(t) + \hat{O}(t) \dot{\underline{r}}'(t)$   $\leftarrow \hat{O} \cdot \dot{\hat{O}} = \dot{\hat{O}}$   
 $\hat{O} \underline{v} = \hat{O} \dot{\hat{O}} \underline{r}'(t) + \underline{v}'$

- új operátor:  $\hat{R} := \hat{O} \cdot \dot{\hat{O}}$

$\hat{O} \cdot \dot{\hat{O}} = \dot{\hat{O}} \Rightarrow \frac{d}{dt} (\hat{O} \cdot \dot{\hat{O}}) = 0 \Rightarrow \hat{R} + \dot{\hat{R}} = 0 \Rightarrow \hat{R}$ : antiszimmetrikus  $3 \times 3$

$\hat{R} = \begin{pmatrix} 0 & -\omega_3 & \omega_2 \\ \omega_3 & 0 & -\omega_1 \\ -\omega_2 & \omega_1 & 0 \end{pmatrix} \quad \left( \dots \right) \begin{pmatrix} r_1 \\ r_2 \\ r_3 \end{pmatrix} = \left( \dots \right) = \underline{\omega} \times \underline{r}$

$\boxed{\hat{R} \underline{r} = \underline{\omega} \times \underline{r}}$

- inerciánálbeli seb. forgó koordinátákra adható alak:

$\dot{\hat{O}} \underline{v} = \underline{\omega} \times \underline{r}' + \underline{v}'$

- gyorsulás

új operáció:  $\frac{d'}{dt} = \underline{\omega} \times \dots + \frac{d}{dt} \dots$  inerciánálbeli derivált

$\underline{a} = \left( \dots \right) \cdot \underline{v} = \dots = \underline{a}' + \underline{\omega} \times (\underline{\omega} \times \underline{r}') + 2(\underline{\omega} \times \underline{v}') + \underline{\beta} \times \underline{r}' \leftarrow \underline{\beta} = \frac{d}{dt} \underline{\omega}$

$\Rightarrow m \underline{a} = F - m \underline{a}_0 + \underbrace{m \omega^2 \underline{s}}_{\text{Fog}} + \underbrace{2m(\underline{\omega} \times \underline{v}')}_{\text{Coriolis}} + \underbrace{m(\underline{r}' \times \underline{\beta})}_{\text{Euler}} \leftarrow$  4 kéteffektus együttesen

centrifugális erő:  $\underline{\omega} \times (\underline{\omega} \times \underline{r})$  kétszeres vektorsorzat

$\underline{\omega} \times (\underline{\omega} \times \underline{r}) = \omega^2 \underline{r} - (\underline{\omega} \cdot \underline{r}) \underline{\omega} = -m \omega^2 \underline{s} \leftarrow$  ott,  $\underline{s} = (\underline{r}$  vektora  $\underline{\omega}$ -ra)  $\cdot \underline{r}$

+ (ingó?)

## 12. Szabadese's a forgó Földön

### 1) koordináták, vektorok

- dekartéri koordináták:  $x$  - hossz. irány;  $y$  - széless. irány;  $z$  - sugárirány
- forgó koordináták  $\Rightarrow u = u_x \hat{x} + u_y \hat{y} + u_z \hat{z} + 2\omega \hat{x} \times \hat{z}$
- vektorok komponensei:  $g, a, \omega \quad \omega = (-\omega \cos\varphi, 0, \omega \sin\varphi) \Rightarrow \omega \times \omega$

### 2) mozgásegyenletek

- $\ddot{x}, \ddot{y}, \ddot{z}$
- $\ddot{y}$  levezetése  $\Rightarrow \ddot{y} = -4\omega^2 y + 2g\omega \cos\varphi$  ← harmonikus a függő  $\Rightarrow 3$  kezelt.
- mo.:  $v_y = A \cos(2\omega t + \varphi) + B \Rightarrow a_y = \ddot{y}$  és  $\ddot{y}$
- $\varphi = ?$  ← kezdéskor minden irányi sebesség 0  $\Rightarrow a_y(0) = 0 \Rightarrow \varphi = 0$
- $B = ?$  ←  $\ddot{y} = \dots$  behelyett.  $\Rightarrow B = \frac{g \cos\varphi}{2\omega}$
- $A = ?$  ←  $v_y(0) = 0 \Rightarrow A = 1$
- $v_y = \frac{g \cos\varphi}{2\omega} (1 - \cos(2\omega t)) \xrightarrow{\cos x \approx 1 - \frac{x^2}{2}} v_y = g \cos\varphi \omega t^2$
- $\Rightarrow y = \frac{g \cos\varphi \omega t^2}{3}$
- $z = h - g/2 t^2$  ← szabadese's
- $x = 0$  ←  $\omega^2$  elhanyagolható
- a jelenség alkalmasan a Föld forgásával kimutatható

### 13. Foucault - kísérlet

- 1850's kérdés: inerciális vágyunk-e

- inga  $\Rightarrow$  körtelen (körtelindulás)  $\leftarrow m\mathbf{a} = m\mathbf{g} + 2m(\mathbf{v} \times \boldsymbol{\omega}) + K$

- geometria  $\Rightarrow l = x^2 + y^2 + z^2 \Rightarrow z^2 = l - x^2 - y^2 \Rightarrow \dot{z} = 0, \ddot{z} = 0, \dot{y} \neq 0$

- mozgás egyenletei:  $l$  - 2. tétel +  $\lambda$  (Lagrange)  $\lambda$ : körtelés nagysága

- körtelés nagysága:  $\lambda = -g/l \leftarrow \ddot{z} = -l\ddot{\lambda}$

$\Rightarrow \ddot{x}$  és  $\ddot{y}$  (z-s taggal eltüntetve)  $\leftarrow \omega_1 := \omega \sin \varphi$

$$\ddot{x} / -1 = \ddot{y} / i$$

$$\Rightarrow \begin{cases} \ddot{x} + i2\omega_1 \dot{y} + \frac{g}{l}x = 0 \\ \ddot{y} + i2\omega_1 \dot{x} + \frac{g}{l}y = 0 \end{cases} \quad \left\{ \begin{array}{l} z := x + iy \\ \Rightarrow \ddot{z} + 2\omega_1 i \dot{z} + \frac{g}{l}z = 0 \end{array} \right.$$

- próbafü.  $z = A e^{i\lambda t}$  alak

összehelyesít.  $\Rightarrow \lambda_{1,2} = -\omega_1 \pm \sqrt{\omega_1^2 + \frac{g}{l}} \approx -\omega_1 \pm \sqrt{\frac{g}{l}} \ll \frac{g}{l} \gg \omega_1$

$\Rightarrow z = e^{-i\omega_1 t} (A_1 e^{i\sqrt{g/l}t} + A_2 e^{-i\sqrt{g/l}t})$  kirakva

- kezdőfelt.

$z(0) = a \Rightarrow x(0) = a, y(0) = 0$   
 $\dot{z}(0) = 0 \leftarrow$  kezdéskor áll

$z(0) = a = A_1 + A_2$

$\dot{z}(0) = 0 \Rightarrow A_1 - A_2 = \frac{-\omega_1 a}{\sqrt{g/l}} \left\{ \begin{array}{l} \oplus \\ \ominus \end{array} \right. \Rightarrow A_1 \text{ és } A_2$

$$\Rightarrow z = a e^{-i\omega_1 t} \left[ \left(1 + \frac{\omega_1}{\sqrt{g/l}}\right) \frac{e^{i\sqrt{g/l}t}}{2} + \left(1 - \frac{\omega_1}{\sqrt{g/l}}\right) \frac{e^{-i\sqrt{g/l}t}}{2} \right] =$$

$$= a e^{-i\omega_1 t} \left[ \cos\left(\sqrt{\frac{g}{l}}t\right) + i \frac{\omega_1}{\sqrt{g/l}} \sin\left(\sqrt{\frac{g}{l}}t\right) \right]$$

$\Rightarrow$  nagyon elnyúlt ellipszis forgó

## 14. Kéttest - probléma

### 1) Kéttest - probléma

- testek közti kölcsönhatás csak a relatív távolságtól függ
- $m_1 a_1 = F_{21}(r_1 - r_2)$  és  $m_2 a_2 = -F_{21}(r_1 - r_2)$
- $\Rightarrow m_1 a_1 + m_2 a_2 = 0$
- $\Rightarrow \frac{d}{dt}(m_1 v_1 + m_2 v_2) = 0 \Rightarrow$  állandó impulzus áll.
- $\Rightarrow \frac{d^2}{dt^2}(m_1 r_1 + m_2 r_2) = 0 \Rightarrow$  az az állandó seb.
- $r_0$  def.:  $r_0 = \frac{m_1 r_1 + m_2 r_2}{m_1 + m_2}$
- $r_0$  egyenlete  $0 \Rightarrow M \ddot{r}_0 = 0$
- mozgásegyenlet  $\ominus \Rightarrow \ddot{r}_1 - \ddot{r}_2 = \left(\frac{1}{m_1} + \frac{1}{m_2}\right) F_{12}(r_1 - r_2)$
- redukált tömeg  $\mu$
- relatív koordinát.:  $r = r_1 - r_2 \rightarrow \mu \ddot{r} = F_{12}(r)$  kéttest - probl.
- egyenlet.:  $\mu \ddot{r} = F_g \Rightarrow \ddot{r} = \frac{\mu + M}{r^2} \frac{r}{r} \Rightarrow (\mu + M)!$

### 2) relativitás

- tömegvesztés:  $u, \Delta m$
- impulzusmegmaradás:  $m \Delta v + \Delta m u = 0 \leftarrow \oplus$  mert  $\Delta m$  neg. a relatív mozgás miatt
- $\frac{dv}{dm} = -\frac{u}{m} \Rightarrow v(u) = \int_{m_0}^m -\frac{u}{m} dm = \left[ u \ln \frac{m_0}{m} = v(u) \right]$  Tsiolkovszky

# 15. Pontrendszerek Brudjei

15. Pontrendszer (2. feladat)

## 1) Általános

- N darab tömegpont  $\Rightarrow \sum_{i=1}^N m_i \ddot{r}_i = \sum_{i=1}^N F_i^{(2)} + \sum_{i,j} K_{ij}$

$F_i^{(1)}$  - külső erő  
 $K_{ij}$  - kölcsönhatás  $i, j$  pont az  $i, j$ -re

- mozgásegyenlet független a belső erőktől:

$\sum_{i,j} K_{ij} \xrightarrow{\text{indexcsere}} \sum_{i,j} K_{ji} \xrightarrow{\text{Newton III}} - \sum_{i,j} K_{ij} \Rightarrow \sum_{i,j} K_{ij} = 0$

- rendszer összpontusa:  $\sum m_i \ddot{r}_i = P \Rightarrow \boxed{\frac{d}{dt} P = \sum_i F_i^{(1)}}$   
 $\Rightarrow$  ha  $\neq$  külső erő, megmarad

- tömegközp.:  $r_0 = \frac{\sum m_i r_i}{M}$

$\frac{d^2}{dt^2} (\sum m_i r_i) = \sum_i F_i^{(1)} \Rightarrow \boxed{M \ddot{r}_0 = \sum_{i=1}^N F_i^{(1)}}$

## 2) Impulzusmomentum

- mozgásegyenlet előlét vett származva  $r_i$ -vel:

$r_i \times m_i \ddot{r}_i = r_i \times F_i^{(2)} + \sum r_i \times K_{ij}$

- imp. mom. deriváltja = forg. nyomaték

$r \times m \ddot{r} = \frac{dN}{dt}$

$\Rightarrow \boxed{\frac{dN}{dt} = \sum_i M_i^{(2)} + \sum r_i \times K_{ij}}$

indexcsere  
 Newton III  
 $\Rightarrow \frac{1}{2} \sum (r_i - r_j) \times K_{ij}$

0 ha belső erő centralizált

- t.p.: koordinát.:  $r_i = r_0 + \rho_i$  és  $\rho_i$ :

$\Rightarrow N = \sum r_i \times m_i \ddot{r}_i = \dots = \underbrace{M r_0 \times \ddot{r}_0}_{\text{pályainp.m.}} + \sum \rho_i \times m_i \ddot{\rho}_i + 0 + 0$   
 $\Rightarrow \boxed{N = M(r_0 \times \ddot{r}_0) + N_S} \leftarrow \boxed{N_S = \sum_i \rho_i \times m_i \ddot{\rho}_i}$   
 pályainp.m.      sajátimp.m.

- vizsgálható forg. nyomaték egyenletbe:

$\frac{d}{dt} (M r_0 \times \dot{r}_0) + \frac{dN_S}{dt} = \sum_i (r_0 + \rho_i) \times F_i^{(1)} \xrightarrow[\text{kiegész.}]{\text{tagok}} \boxed{\frac{dN_S}{dt} = \sum_{i=1}^N \rho_i \times F_i^{(1)}}$

$\Rightarrow$  tehetetlenségi erő összeforgalmunkatára 0

## 3) Relatívus energia

- mozgásegyenlet skalárisan származva  $v_i$ -vel

$m_i v_i \dot{v}_i = v_i \cdot F_i^{(2)} + \sum_{i,j} v_i \cdot K_{ij}$

$\Rightarrow \frac{d}{dt} E_{kin} = \sum_i P_i + \sum_{i,j} v_i \cdot K_{ij}$        $P_i$  - teljesítmény

$\Rightarrow \boxed{\Delta E_{kin} = W^{(2)} + W^{(6)}} \leftarrow$  külső, belső erő munkája

- belső és külső erő korelatívus ( $\Rightarrow$  összpót. d.c.)

$E = E_{kin} + \sum_i \phi_i^{(2)}(r_i) + \frac{1}{2} \sum_{i,j} \phi_{ij}^{(6)}(r_i, r_j)$

- mivel test esetén belső erő munkája 0 (érintkezés)  $\Rightarrow$   $\neq$  utolsó tag

$\Rightarrow E_{kin} = \frac{1}{2} \sum_i m_i (\dot{r}_0 + \dot{\rho}_i)^2 = \frac{M}{2} v_0^2 + \frac{1}{2} \sum_i m_i \dot{\rho}_i^2 + 0$

# 16. Rugalmas ütközések

## 1) egyenletek

- súrlási kísérlet → kezdő- és végállapot: oment, mi történt közben?
- imp. megm.
- energiameg. → kölcsönhatás konzervatív  $\Rightarrow E_{k1i} + E_{k2i} + \phi_{12}$  } 6 egyenlet  
 $\Rightarrow$  két anyag nemre vanunk  $\Rightarrow \phi_{12} = 0$  } 4 param. rögzített

-  $P_{pi}$  vektor:

$$x_0 = \frac{m_1 x_1 + m_2 x_2}{m_1 + m_2} \quad v_0 = \frac{m_1 v_1 + m_2 v_2}{m_1 + m_2}$$

• sebesség:  $v_1' = v_1 - v_0 = \dots$

• impulzus:  $p_1' = m_1 v_1' = m_1 (v_1 - v_2)$   
 t<sub>pi</sub> vektor összimp. 0  $\Rightarrow p_2' = -p_1'$

- energiameg. impulzusokkal  $\Rightarrow p_1'^2 = p_2'^2$

$$\Rightarrow |p_1'(t)| = |p_1(t)| = m_1 |v_1^{(i)} - v_2^{(i)}| = |p_2'(t)| = |p_2(t)|$$

$$\Rightarrow \text{érintés imp.: } p_1'(t) = |p_1(t)| \cdot \underline{n}$$

$\underline{n}$  = F egyirányú vektor, csak a rögz. vektor

- labarendszerbe visszatérve:

•  $v_1'(t) = v_1^{(i)} + v_0$  és  $v_2'(t)$

•  $p_1'(t) = m_1 v_1'$  és  $p_2'(t)$

$$p_1'(t) = m_1 * |v_1^{(i)} - v_2^{(i)}| \cdot \underline{n} + \frac{m_1}{m_1 + m_2} (p_1^{(i)} + p_2^{(i)})$$

## 2) ütközési diagram

- kör ← sugár:  $m_1 * |v_1^{(i)} - v_2^{(i)}| \Rightarrow$  sugár  $\cdot \underline{n}$  vektor

- A és B pont:  $\vec{OA}$  és  $\vec{OB}$   $p_1^{(i)}$  és  $p_2^{(i)}$  vektorok

$\Rightarrow p_1^{(i)}$  és  $p_2^{(i)}$  vektorok

- a ló lövege löve  $p_2^{(i)} = 0$

•  $\Rightarrow \vec{OA}$  vége a lövőn

$$\Rightarrow \vec{OB} = m_1/m_2 \vec{OA}$$

• esetek lövegrendje szerint

-  $m_1 < m_2 \Rightarrow$  B lövőn belül  $\Rightarrow$  van visszatérés

-  $m_1 = m_2 \Rightarrow$  B a lövőn  $\Rightarrow$  végső impulzus  $\perp$

-  $m_1 > m_2 \Rightarrow$  B lövőn kívül  $\Rightarrow$  határhely

- ütközési paraméter:

$m_2$  és  $v_1$  egyenesével képezve



# 17. Merev testek mozgása

## 1) bevezetés

- merev test: pontok halmazára áll.
- belső erő: kölcsönhatás  $\Rightarrow$  összmunka 0
- pozíció: 3 pont, de halmazsághal fix  $\Rightarrow 3 \times 3 - 3 = 6$  egyenlet
- alapegyenletek:  $M \ddot{\mathbf{r}}_0 = \sum_i \mathbf{F}_i$  (1)
- $\frac{d\mathbf{L}}{dt} = \sum_i \mathbf{H}_i$  (2)
- mozgás leírása: kitüntetett pont elmozd. és elford.
- $\Delta \mathbf{r} = \Delta \mathbf{r}_0 + \Delta \varphi \times (\mathbf{r} - \mathbf{r}_0)$
- $\underline{\omega} = \underline{\omega}_0 + \underline{\omega} \times (\mathbf{r} - \mathbf{r}_0)$  ← kitüntetett pont sebessége 6 adattal  $\underline{\omega}_0$  és  $\underline{\omega}$
- szögseb. vektor független a kitüntetett ponttól  $\mathbf{r}$   $\underline{\omega}$   $\underline{\omega}$  kell legyen

## 2) sajátimp. mom., $\hat{\Theta}$ tenzor

- lépés 1:  $\mathbf{r}_0 = 0$  és  $\underline{\dot{s}}_i = \underline{\omega} \times \mathbf{s}_i$
- sajátimp. mom.:  $\mathbf{U}_S = \sum_i \mathbf{s}_i \times \mathbf{u}_i \cdot \underline{\dot{s}}_i = \sum_i \mathbf{s}_i \times (\mathbf{u}_i \times \underline{\omega})$
- $\underline{\omega}$  lineáris  $\Rightarrow \hat{\Theta} \underline{\omega}$
- szétes vektorokra  $\Rightarrow$  skalár és diagonális norm.
- $\Rightarrow \mathbf{U}_S = \left( \sum_i m_i (s_{i1}^2 - s_{i2}^2) \right) \hat{\Theta} \underline{\omega}$
- $\hat{\Theta}$  tenzor: (...) szim. max.  $\Rightarrow$  valós skálár.
- diag. elemek  $\geq 0 \Rightarrow$  skálárak  $\geq 0$
- $\Rightarrow$  bármilyen  $\mathbf{a}$ -ra  $\mathbf{a} \hat{\Theta} \mathbf{a} \geq 0$  pozitív definit

## 3) kinetikus energia, határvonal

- belső erő összmunkája 0  $\Rightarrow E_{kin} = \frac{1}{2} M \underline{\omega}_0^2 + \sum_i \frac{m_i}{2} \underline{\dot{s}}_i^2$  és  $\underline{\dot{s}}_i = \underline{\omega} \times \mathbf{s}_i$
- határvonal - aztl. perm.
- $\Rightarrow$  forgási energia:  $E_f = \frac{1}{2} \mathbf{U}_S \underline{\omega} = \frac{1}{2} \underline{\omega} \hat{\Theta} \underline{\omega} \geq 0$
- erő határvonal mentén eltolva  $\Rightarrow$  forg. mp. ua.

## 4) eredő erő

- reverzió: eredő erő  $(\mathbf{E})$  és pont, ahol hat  $(\mathbf{r}_0)$
- $\underline{\mathbf{H}} = \mathbf{r}_0 \times \mathbf{E} \quad / \cdot \mathbf{E} \Rightarrow \underline{\mathbf{H}} \cdot \mathbf{E} = 0$  ← csak, ha  $\underline{\mathbf{H}} \perp \mathbf{E}$
- grav. erőtételek:
  - erő:  $\mathbf{G} = \sum_i m_i \mathbf{g} = M \mathbf{g}$
  - forg. mom.:  $\underline{\mathbf{H}} = \sum_i \mathbf{r}_i \times m_i \mathbf{g} = \mathbf{r}_0 \times \mathbf{G} \Rightarrow$  súlypont  $\mathbf{r}_0 = \frac{\sum_i m_i \mathbf{r}_i}{M}$
  - ha  $\mathbf{g}$  = állandó (homogén erőter)  $\Rightarrow$  egyenesz. lép

# 18. Merev test rögzített tengely körüli forgása és síkmozgása

## 1a) Tengely körüli forgás - alapok

- alapegyenlet:  $M \ddot{x}_0 = \sum_i F_i^{(2)}$  és  $\frac{dU}{dt} = \sum_i M_i^{(2)}$
- tengely rögzített  $\Rightarrow \varphi$ -vel leírható  $\Rightarrow$  1 egyenlet, a többi a rögzítés miatt  $\varphi$ -ra leírható  
 $\frac{dU_3}{dt} = \left( \sum_i M_i^{(3)} \right)_3$  rögzítéshez tartozó forgatónyomaték-nak  $\varphi \in (3)$  irányú komponens.
- levezetéses pont helyzet:  $r = \omega \times r + r_0 \leftarrow$  ha kardos tengelyhez rögz.
- imp. mom.:  $N = \sum_i m_i r_i \times (\omega \times r_i) = \hat{\Theta}^* \omega$   
 $\Theta_{33}^* = \sum_i m_i (x_i^2 + y_i^2) = dU$   $\leftarrow$  tengelytől vett táv.
- $\Rightarrow \frac{d}{dt} \Theta_{33}^* \omega \Rightarrow \frac{dN_3}{dt} = M_3(\varphi) = \hat{\Theta}_{33}^* \beta$

## 1b) fizikai inga

- merev test grav. erőterben forgó fix tengely körül
- G: súlypontban  $\varphi$ : tengely és súlypont  $\neq$  függőleges  
 $M(\varphi) = -G s \sin \varphi = \Theta_{33} \ddot{\varphi} \Rightarrow \ddot{\varphi} = -\frac{G s}{\Theta_{33}} \sin \varphi \approx -\frac{G s}{\Theta_{33}} \varphi$   $\leftarrow$  az inga

## 1c) Steiner-tétel

- $\Theta_{33}^*$  (súlypont) helyén  $\leftarrow$  behelyeztet:  $x = s \pm z$   
 $\Rightarrow \Theta_{33}^* = \Theta_{33} + M s^2 + 0$
- lendület tétele = tekinthető  $\rightarrow$  elforgatott koordináta  
 $\leftarrow \Theta \leftarrow \leftarrow$  : egyenlőség, tengelyvel párh.

## 2) síkmozgás

- alapegyenlet  $\Rightarrow 6$
- 2 pont rögz. síkban  $\Rightarrow 2 \times 2 - 1 = 3$  koordináta (mert fix táv.)
- rögzítés: felületre merőleges  $\Rightarrow \varphi$  sík irányú komponens.  
 $\Rightarrow$  forg. ugrás:  $\varphi \in$  irányú komponens.
- $\Rightarrow M \ddot{x}_0 = \left( \sum_i F_i^{(2)} \right)_x$  és  $y$ -ra  
 $\frac{dU_3}{dt} = \sum_i M_i^{(3)}$

## - súlyponti sebesség:

$$\left. \begin{aligned} \frac{dU_{33}}{dt} &= \sum_i M_i^{(3)} \\ \omega &= (0, 0, \omega) \\ N_{33} &= \Theta_{33} \omega \end{aligned} \right\} \hat{\Theta}_{33} \beta = \left( \sum_i M_i^{(3)} \right)_z$$

## 3) lejtő

- súlypont mozgása:  $m a = m g \sin \alpha - s$
  - rögzítés forg. ugr.:  $\Theta_{33} \beta = R s$
  - hirtelen gördülés:  $\beta R = a$
- $\left. \begin{aligned} & \\ & \\ & \end{aligned} \right\} \Rightarrow a$

# 19. Rögzített pont körüli forgás

## 1) Euler - féle pörgettyűegyenletek

- 6 adatból 3 rögzített  $\Rightarrow$  3 egyenlet
- tengelyhez rögzített koordináták: inerciánysz, de  $\hat{\Theta}(t)$  időfüggő
- testhez rögzített koordináták: ajánlott, de  $\hat{\Theta} = \text{dcl.}$

$$\frac{d\mathbf{N}'}{dt} = \mathbf{M}' = \frac{d\mathbf{N}}{dt} + \boldsymbol{\omega} \times \mathbf{N} \quad \text{és } \mathbf{N} = \hat{\Theta} \boldsymbol{\omega}$$

$$\Rightarrow \hat{\Theta} \dot{\boldsymbol{\omega}} + \boldsymbol{\omega} \times (\hat{\Theta} \boldsymbol{\omega}) = \mathbf{M}'$$

- forgó koordináták csúszási egyenlet = sajátkérdés  $\Rightarrow \hat{\Theta}$ : csak diagonális
- $(\boldsymbol{\omega} \times \hat{\Theta} \boldsymbol{\omega}) = \dots$
- $\Rightarrow$  Euler - féle pörgettyűegy.  $M_1' = \theta_1 \dot{\omega}_1 + \omega_2 \omega_3 (\theta_3 - \theta_2)$  és  $M_2', M_3'$

## 2) erőmentes pörgettyű

- alátámasztási pont a súlypontban  $\Rightarrow \mathbf{M} = 0 \Rightarrow \mathbf{N} = \text{dcl.}$
- $\Rightarrow E_{\text{kin}} = \text{dcl.}$

- szimmetrikus pörgettyű
- $\Rightarrow$  két stét. megegyező  $\theta_1 = \theta_2$
- $\Rightarrow$  pörgettyűegyenletek  $\Rightarrow \omega_1^2 + \omega_2^2 = \text{dcl.} \Rightarrow |\boldsymbol{\omega}| = \text{dcl.}$

- instabilitás viz: a forgástengely  $\mathbf{N}$  körül
- stabilitás:  $\boldsymbol{\omega} \parallel \mathbf{N}$  körül és  $\boldsymbol{\omega} \perp \mathbf{N}$  körül

- megpörgetett testek  $\leftarrow$  súlyos pörgettyű
- gyors pörgetés  $\Rightarrow \mathbf{N} \parallel \hat{\mathbf{N}}$  forgástengely  $\Rightarrow \mathbf{N} \parallel \mathbf{H} \approx 0$
- $N \frac{d\mathbf{N}}{dt} = \mathbf{N} \mathbf{H} \Rightarrow N^2 \approx \text{dcl.}$

- z irányú  $M_z = 0 \Rightarrow N_z = \text{dcl.}$

- $\mathbf{N}$  és  $\mathbf{N}_z$  dcl.  $\Rightarrow$  precessió

- Föld: nem erőmentes, mert súly. grav. erő

## 3) szabad tengely stabilitása

- pörgettyűegyenletek  $\leftarrow \boldsymbol{\omega} = (0, 0, \omega_0)$  kezdeti mo. és  $M_1 = M_2 = M_3 = 0$
- kicsi eltérés  $\Rightarrow \boldsymbol{\omega} = (\delta\omega_1, \delta\omega_2, \omega_0 + \delta\omega_3)$
- behelyezett. pörgettyűegyenletek  $\Rightarrow$  két egyenlet és elválasztott  $\delta\omega_3 = \text{dcl.}$
- két egyenlet mo.:  $\begin{pmatrix} \delta\omega_1 \\ \delta\omega_2 \end{pmatrix} = \begin{pmatrix} A_1 \\ A_2 \end{pmatrix} e^{\lambda t}$

$\Rightarrow$  vizsgálandó.

$$\Rightarrow \begin{pmatrix} \lambda \theta_1 & \omega_0 (\theta_3 - \theta_2) \\ \omega_0 (\theta_1 - \theta_2) & \lambda \theta_2 \end{pmatrix} \begin{pmatrix} A_1 \\ A_2 \end{pmatrix} = 0$$

$\rightarrow$  triviális:  $\lambda = 0$

$\rightarrow$  nemtriv. létezik, ha  $\det = 0$

$$\det: \lambda^2 = \frac{\omega_0^2 (\theta_3 - \theta_2) (\theta_1 - \theta_2)}{\theta_1 \theta_2}$$

$\hookrightarrow$  stabilizáló poz.  $\Rightarrow$  stabilizáló egyenlet

$\hookrightarrow$  stabilizáló neg.  $\Rightarrow$   $\lambda$  hisztón képlet

-  $A_{1+}$  és  $A_{1-}$  egyenlő komplex konst.  $\rightarrow$  valós oszcilláció

$\Rightarrow$  stabilizáló egy. súly  $\approx$  tengely körül harm. rezgés

- stabilizáló neg.

$\hookrightarrow \theta_3$  a legnagyobb  $\leftarrow$  stabilizáló

$\hookrightarrow \theta_2$  a legkisebb  $\leftarrow$  instabilizáló

stabilitás  $M$